

自动控制理论中的 根轨迹法

〔苏联〕 Э. Г. 乌杰尔曼 著

上海科学技术出版社

73.822
487

自动控制理論中的根軌迹法

〔苏联〕 9. Г. 乌杰尔曼 著

孙 吴 譯

2K49166

上海科學技術出版社

內 容 提 要

本書系統地詳細敘述了根軌迹法的基本內容。首先簡要地介紹有關線性系統的一些必要的知識，然后闡述根軌迹法的实质、根軌迹的特性和繪制以及如何按照根軌迹估計過渡過程和頻率特性的參數，并研究用根軌迹法綜合自動控制系統的問題，都舉有計算实例。

• 本书供自動化工程技術人員及大專學生參考。

МЕТОД КОРНЕВОГО ГОДОГРАФА
В ТЕОРИИ АВТОМАТИЧЕСКОГО УПРАВЛЕНИЯ

Э. Г. Удерман

Госэнергоиздат • 1963

自動控制理論中的根軌迹法

孙 吳 謐

上海科学技术出版社出版（上海瑞金二路450号）
上海市书刊出版营业登记证093号

商务印书馆上海厂印刷 新华书店上海发行所发行

开本 787×1092 1/32 印张 4 8/32 换版字数 93,000
1966年2月第1版 1966年2月第1次印刷
印数 1—3,600

统一书号 15119·1843 定价(科六) 0.50 元

前　　言

根轨迹法出現已十多年了，是廣泛用来分析和綜合自動控制系統（包括自動調節系統、自動檢測系統和隨動系統）的一種有效的方法。这是因为根轨迹法除了具有頻率法的某些优点外，还能使設計人員得到直接計算系統過渡特性和脈冲特性所需要的全部数据，也就是不仅是在頻域內、而且是在時域內分析和綜合自動控制系統所需要的数据。此外，根轨迹法很簡單，任何技術人員都很容易掌握。

本書是給廣大的科學工作者、工程技術人員以及那些對自動控制系統的設計問題感興趣的人閱讀的。这里對根轨迹法作了系統的敘述，并列舉了大量的計算例題作為說明，這些例題一般都導出了最後的數值結果。

本書敘述的原則是：從簡單到複雜，從例題到一般證明。

全書共分5章。在第1章緒論里，介紹有關線性自動控制系統方面的一些必要的知識，便於讀者掌握後面的材料。第2章和第3章闡述了根轨迹法的實質、根轨迹的性質和繪制。在第4章里談到了怎樣按照根的轨迹來估計過渡特性和頻率特性的參數，這對於有效地利用根轨迹來解決自動控制系統的分析和綜合問題，是很必要的。這一章和下一章有一部分材料是以前沒有發表過的。第5章的內容是利用根轨迹法在自動控制系統的零、極點平面上綜合它的校正元件問題。

目 录

前 言

| | |
|---|-----|
| 第1章 緒論 | 1 |
| 1. 根軌迹法的特性及应用範圍 | 1 |
| 2. 有关線性自动控制系統方面的一些必要知識 | 2 |
| 第2章 根軌迹法 | 12 |
| 3. 零、极点平面 | 12 |
| 4. 根軌迹法的构思 | 16 |
| 5. 一些簡單的例子 | 20 |
| 第3章 根轨迹的性质及繪制 | 24 |
| 6. 根轨迹的性质 | 24 |
| 7. 根轨迹的繪制 | 30 |
| 8. 非单环系統 | 38 |
| 9. 根轨迹基本性质的証明 | 46 |
| 第4章 按照根軌迹估計过渡特性和頻率特性的参数，过渡过程 曲線的繪制 | 52 |
| 10. 引言 | 52 |
| 11. 闭环系統零、极点的位置对过渡特性 $h(t)$ 的影响 | 59 |
| 12. 闭环系統零、极点的位置对其頻带的影响 | 70 |
| 13. 不是施加在系統主輸入端的扰动作用 | 76 |
| 第5章 自动控制系統的綜合 | 83 |
| 14. 引言 | 83 |
| 15. 微分校正(相位超前校正) | 85 |
| 16. 积分校正 | 95 |
| 17. 积分-微分校正 | 102 |
| 18. 軟反饋 | 106 |
| 19. 扰动校正 | 114 |
| 20. 自整定系統 | 119 |
| 附 录 确定多項式根的方法 | 124 |
| 参考文献 | 128 |

第一章

緒論

1. 根轨迹法的特性及应用范围

根轨迹法是計算綫性閉環动力學系統(亦即反饋系統)的一种方法，这种系統在过渡过程时的性能用綫性微分方程式来描述，对工程实际來說，已足够精确。

許多自動調節系統、自動檢測系統、隨動系統①以及反饋放大器，都属于綫性反饋系統。

所謂根轨迹是指當系統的某个参数(往往是总放大系数)从0变到 ∞ 时，系統特征方程式的根在根的复平面上所描绘的一些曲綫。

用根轨迹法能够根据对系統在过渡过程(由加在系統上的扰动或者控制作用所引起)时的性能提出的要求，也就是对系統的“品質”提出的要求，成功地解决綫性系統的分析和綜合問題。

根轨迹法比計算自動控制系統的頻率法出現得要晚一些，由于它具有无可置疑的优点，因而应用亦甚广。根轨迹法实质上是一种图解法，因此它和頻率法一样，非常直观。

一般說來，要从系統在过渡过程时的性能这个角度来解

① 以后我們把所有这些系統都叫做自動控制系統。——原注

釋它的頻率特性，是相當困難的，但根軌迹的数据却可以按照一些簡單的公式，直接用来計算过渡過程，而且往往用不着另外計算，只要对根軌迹进行觀察，就可以看出过渡過程的主要特征。

当然，在我們具體設計自動控制系統的時候，每一种方案都不是用一种方法，而是用好几种方法來計算的，然后从所有的方案中挑出一种最好的方案。在这种情况下，根軌迹法和頻率法可以很好地相互补充，設計人員同时利用这两种方法，就可以比較容易地解决給定自動控制系統的分析和綜合問題。

本书主要是讲述根軌迹法的实质和应用，它可以解决下面几个問題：

- (1) 繪制当系統的总放大系数或其他某个参数变化时，閉环系統傳递函数极点的軌迹。
- (2) 定性和定量地估計，当根軌迹的参数变化时，系統对典型訊号的响应将是怎樣变化的。
- (3) 考虑因附加元件而使系統改变或者复杂化时，系統所出現的新参数的影响，或者考慮一些小参数。
- (4) 綜合系統的校正元件。

在論述根軌迹的方法及性质以前，先回顾一下有关線性自動控制系統的一些基本知識和概念。

2. 有关線性自動控制系統方面的一些必要知識

任何自動控制系統都可用作用图来表示(图1)，其中，某調節对象 O 的被調量 x_{BLX} 由調節器 P 以一定的准确度保持等于輸入量 x_{BX} 或者与輸入量 x_{BX} 成正比(如果系統的輸出端和比較元件 RC 之間用变换元件 II 来变换訊号的話)，輸入量

x_{bx} 是自动控制系统的给定值。

对所谓镇定系统的自动控制系统来说，譬如调压器、调速器等， x_{bx} 等于常数。对随动系统来说， x_{bx} 是某个时间函数，我们把它叫做控制作用。

以后，我们将认为线性自动控制系统的参数都是集中参数，并且与时间无关，因此，描述线性系统的方程式都是如下的常系数微分方程式①

$$a_0 \frac{d^n x}{dt^n} + a_1 \frac{d^{n-1} x}{dt^{n-1}} + \cdots + a_{n-1} \frac{dx}{dt} + a_n x = b_0 \frac{d^m x_{bx}}{dt^m} + b_1 \frac{d^{m-1} x_{bx}}{dt^{m-1}} + \cdots + b_{m-1} \frac{dx_{bx}}{dt} + b_m x_{bx} \quad (1)$$

式(1)中 $m \leq n$ ，系数 $a_i (i=0, 1, 2, \dots, n)$ 和 $b_j (j=0, 1, 2, \dots, m)$ 都是常数，为了简便起见， x_{bx} 用 x 来表示。对每个具体的线性系统来说，在许多情况下利用自动控制系统的结构图来列写式(1)这样的方程式要容易得多。结构图是由一些和自动控制系统的物理元件（或者是元件的一部分）相对应的动态环节所组成，如图 2a 的标号 1、2、3 和 4 所示的。

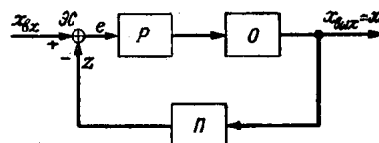


图 1 系统的作用图

以后，我們將認為綫

性自動控制系統的參數都是集中參數，並且與時間無關，因此，描述綫性系統的方程式都是如下的常系數微分方程式①

$$a_0 \frac{d^n x}{dt^n} + a_1 \frac{d^{n-1} x}{dt^{n-1}} + \cdots + a_{n-1} \frac{dx}{dt} + a_n x$$

$$= b_0 \frac{d^m x_{bx}}{dt^m} + b_1 \frac{d^{m-1} x_{bx}}{dt^{m-1}} + \cdots + b_{m-1} \frac{dx_{bx}}{dt} + b_m x_{bx} \quad (1)$$

式(1)中 $m \leq n$ ，系數 $a_i (i=0, 1, 2, \dots, n)$ 和 $b_j (j=0, 1, 2, \dots, m)$ 都是常數，為了簡便起見， x_{bx} 用 x 來表示。對每個具體的綫性系統來說，在許多情況下利用自動控制系統的結構圖來列寫式(1)這樣的方程式要容易得多。結構圖是由一些和自動控制系統的物理元件（或者是元件的一部份）相對應的動態環節所組成，如圖 2a 的標號 1、2、3 和 4 所示的。

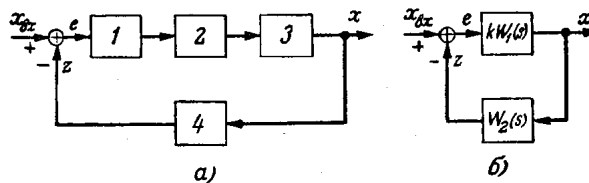


图 2 自动控制系统的结构图

① 为了简单起见，式(1)中没有考虑到不是施加在系统输入端的扰动作用。求解式(1)必须知道初始条件，初始条件也可能等于零。——原注

基本动态环节的数目不多，这就是：无惯性环节（或叫放大环节）、非周期环节（或叫惯性环节）、积分环节、微分环节、振荡环节以及纯滞后环节。除了这些环节之外，自动控制系统中还经常要用到稳定环节和校正环节，例如无源四端网络。

上面列举的每个环节中的过程除了滞后环节以外，都可用 $n \leq 2$ 的微分方程式来描述，它是式（1）的一种特殊情况。然而，一个十分重要和非常有用的概念则是环节（系统）的传递函数的概念，它完全反映了环节（系统）的动态性能，传递函数的定义是输出量和输入量在零初始条件下的拉普拉斯象函数之比，即

$$W(s) = \frac{x_{\text{BLIX}}(s)}{x_{\text{BX}}(s)} \quad (2)$$

这样一来，如果式（1）是描述闭环系统的，那末，根据式（2），系统在闭环状态下的传递函数为

$$W_0(s) = \frac{b_0 s^m + b_1 s^{m-1} + \dots + b_m}{a_0 s^n + a_1 s^{n-1} + \dots + a_n} \quad (3)$$

而开环系统的传递函数（图 26）为

$$kW(s) = kW_1(s)W_2(s) = \frac{z(s)}{e(s)}$$

式中

$$e(s) = x_{\text{BX}}(s) - z(s)$$

如果 $W_2(s) = 1$ ，则 $z(s) = x(s)$ ， $e(s)$ 就是系统的偏差象函数。闭环系统传递函数 $W_0(s) = x_{\text{BLIX}}(s)/x_{\text{BX}}(s)$ 和开环系统传递函数 $kW(s) = kW_1(s)W_2(s)$ 之间的关系由下式给定

$$W_0(s) = \frac{kW_1(s)}{1 + kW_1(s)W_2(s)} \quad (4)$$

① 以后凡闭环系统的传递函数都用脚码 0 来表示。——原注

这从图 26 的結構圖很容易得到。在这个圖上，图 2a 的环节 1、2、3 的总傳递函数为 $kW_1(s)$ ，而环节 4 的傳递函数为 $W_2(s)$ 。

上面已經說过，傳递函数 $kW_1(s)W_2(s)$ 和 $W_0(s)$ 完全决定了系統(环节)的动态性能，这是由于它們都与系統的結構和全部参数有关。因此，傳递函数說明了系統的特性，当然，系統(环节)也可用其他的特性，諸如过渡特性、脉冲过渡特性以及頻率特性来描述。

这些特性都是系統(环节)相应地对加在系統(环节)上的所謂典型輸入作用或标准輸入作用的响应，并且在輸入作用加入以前，系統处于靜止状态。所謂过渡特性 $h(t)$ 就是系統(环节)对单位阶跃函数

$$\mathbf{1}(t) = \begin{cases} 0 & t < 0 \\ 1 & t \geq 0 \end{cases}$$

形式的輸入作用的响应。脉冲过渡特性或者权函数 $g(t)$ 是系統(环节)对单位脉冲函数 $\delta(t)$ (也叫做 δ 函数或狄拉克函数，它由条件 $\int_{-\infty}^{\infty} \delta(t) dt = 1$ 确定) 形式的輸入作用的响应；頻率特性 $W(j\omega)$ 是系統(环节)对单位幅度的諧波輸入作用的稳态响应，諧波輸入作用的頻率我們假定取从 0 到 ∞ 之間的所有值。

这些特性的意义不仅仅是因为它們是系統在經常遇到的最典型的作用下的响应，而且还由于这些典型作用，譬如单位阶跃 $\mathbf{1}(t)$ ，在許多情况下是系統最苛刻的作用①。如果系統在单位阶跃作用下的性能能够滿足对它提出来的要求，那末可以认为，它在其他作用形式下的性能更能滿足要求。

① 就它們所引起的过渡过程來說。——原注

此外，根据线性系统可以运用迭加原理，当知道了系统的过渡特性 $h(t)$ 或脉冲过渡特性 $g(t)$ 以后，总可以计算出它在其他特征作用下的过渡过程。例如，对随动系统来说，这类作用常常是随时间线性增长的或按抛物线规律（按匀加速度运动规律）增长的输入作用 $x_{bx}(t)$ 。

知道了系统的特性 $g(t)$ 或者 $h(t)$ 以后，利用迭积分

$$x_{bx}(t) = \int_0^t x_{bx}(\tau) h'(t-\tau) d\tau = \int_0^t x_{bx}(\tau) g(t-\tau) d\tau$$

就可以确定系统在任何给定作用形式下的输出量 $x_{bx}(t)$ 。

上述系统的各种特性之间存在着简单的关系。系统的过渡特性就是系统的传递函数除以 s 以后的原函数，即

$$h(t) = L^{-1}\left[\frac{W_0(s)}{s}\right]$$

因为

$$\frac{1}{s} \rightarrow x_{bx}(t) = 1(t)$$

脉冲过渡特性等于系统传递函数的原函数

$$g(t) = L^{-1}[W_0(s)]$$

因为

$$1 \rightarrow x_{bx}(t) = \delta(t)$$

频率特性也叫做复放大系数或复传输系数，它可以这样得到：在传递函数的表达式 $W(s)$ 中，用虚变量 $j\omega$ 来替代拉普拉斯变换的复变参数 s

$$W(j\omega) = W(s)_{s=j\omega}$$

模值 $|W(j\omega)| = A(\omega)$ 和频率 ω 的关系叫做系统的幅频特性，而 $\arg W(j\omega) = \varphi(\omega)$ 叫做相频特性。系统的频率特性 $W(j\omega)$ 是计算自动控制系統和随动系统的频率法的基础，

因为它也反映了系統的动态性能。

在有干扰的情况下，系統的輸入訊号是時間的隨机函数，要計算这样的系統也必須知道頻率特性 $W(j\omega)$ 。

作为一个例子，我們来看看非周期环节的各种特性，它的微分方程式的形式是

$$T \frac{dx_{\text{BLIX}}(t)}{dt} + x_{\text{BLIX}}(t) = kx_{\text{BX}}(t)$$

$$W(s) = \frac{1}{Ts+1} \quad h(t) = 1 - e^{-\frac{t}{T}}$$

$$g(t) = \frac{1}{T} e^{-\frac{t}{T}} \quad W(j\omega) = \frac{1}{1+j\omega T}$$

式中取 $k=1$ ； T 为非周期环节的時間常数，它的大小乃是环节慣性的量度。知道了各个环节的傳递函数以后，就很容易得到整个系統的微分方程式，也就是式(1)这样的輸出量和輸入量之間的关系式。

通常系統都是由单向作用的环节构成的，也就是说，将这些环节联接起来以后，后面的环节对前面的环节沒有影响（沒有反作用），普通的环节串联法則和并联法則都用得上：几个环节串联后的傳递函数等于各个环节傳递函数之积，而并联时等于各个傳递函数之和。

图 3 是一个随动系統的原理图和結構图，它由一个校正环节，一个放大环节，两个非周期环节和一个积分环节构成。

开环系統傳递函数 $kW(s) = \frac{x(s)}{e(s)}$ 等于

$$\begin{aligned} kW(s) &= \frac{\alpha\tau s + 1}{\beta\tau s + 1} k_0 \frac{k_1}{T_1 s + 1} \frac{k_2}{T_2 s + 1} \frac{k_3}{s} \\ &= \frac{k(\alpha\tau s + 1)}{s(\beta\tau s + 1)(T_1 s + 1)(T_2 s + 1)} \end{aligned} \quad (5)$$

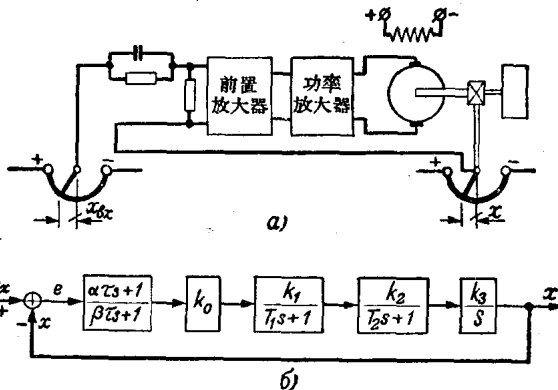


图 3

a—原理图; b—结构图

式中 $k = k_0 k_1 k_2 k_3$ 。

当 $W_0(s) = 1$ 时, 闭环系统传递函数 $W_0(s) = \frac{x(s)}{x_{\text{BX}}(s)}$, 根据式(4)等于

$$W_0(s) = \frac{k(\alpha\tau s + 1)}{s(\beta\tau s + 1)(T_1 s + 1)(T_2 s + 1) + k(\alpha\tau s + 1)} \quad (6)$$

用 $x(s)/x_{\text{BX}}(s)$ 来代替 $W_0(s)$, 去掉分母, 并用 $a_0, a_1, \dots, a_n, b_0, b_1, \dots, b_m$ 来表示 s 相应次项的系数(即 s^{n-i} 和 s^{m-i} 的系数, $i=0, 1, 2, \dots$), 然后再将 s 换成 d/dt , 就得到式(1)这样的微分方程式。

以后, 并不需要把闭环系统的传递函数 $W_0(s)$ 化成系统的微分方程式, 因为知道了 $W_0(s)$ 的零、极点和初始条件后, 利用下面引用的拉普拉斯反变换公式, 可以立即写出这个方程在单位阶跃 $\mathbf{1}(t)$ 或单位脉冲 $\delta(t)$ 这种典型作用下的解。

从式(3)和(4)可以看到, 所研究的自动控制系统的传递函数 $W_0(s)$, 都是复变量 s 的有理函数

$$W_0(s) = \frac{G(s)}{H_0(s)}$$

式中 $G(s)$ 和 $H_0(s)$ 分別为 m 阶和 n 阶多项式，并且 $m \leq n$ ；多项式 $H_0(s)$ 等于零，就是闭环系统的特征方程式。

系统的过渡特性 $h(t)$ ，可利用拉普拉斯反变换（海维赛德展开式）进行计算

$$h(t) = L^{-1} \left[\frac{W_0(s)}{s} \right] = L^{-1} \left[\frac{G(s)}{s H_0(s)} \right]$$

当 $H_0(s)$ 的根都是单根（非重根）时， $h(t)$ 的形式为^[12, 13]

$$h(t) = \frac{G(0)}{H_0(0)} + \sum_{k=1}^n \frac{G(s_k)}{s_k H'_0(s_k)} e^{s_k t} \quad (7)$$

而脉冲过渡特性为

$$g(t) = \sum_{k=1}^n \frac{G(s_k)}{H'_0(s_k)} e^{s_k t} \quad (8)$$

式(7)和(8)中的 $s_k (k=1, 2, \dots, n)$ 是特征多项式 $H_0(s)$ 的根，或者说，是闭环系统传递函数 $W_0(s)$ 的极点， $H'_0(s_k)$ 是 $s=s_k$ 时的一阶导数 $\frac{dH_0(s)}{ds}_{(s=s_k)}$ 。

这样看来，要按式(7)和(8)求出过渡特性 $h(t)$ 和 $g(t)$ ，得知道闭环系统特征方程式 $H_0(s)=0$ 的根。

仅仅当多项式的阶数 $n \leq 2$ 时，求根才比较容易，当 $n=3, 4$ ，特别是 $n > 4$ 时，要用经典的方法确定具有已知数值系数的方程式的根，是相当复杂的，阶数 n 愈高，则愈复杂（而当方程式的系数是字母时，一般说来 $n \geq 4$ ^① 原则上已不可能求解）。

根轨迹法不仅可以用简单的图解法求出闭环系统特征方程式的根（与方程式的阶数 n 无关），而且还可以确定，当系统

① 原书为 $n \geq 4$ 。

的某个重要参数——例如系統的总放大系数——变动时，这些根变化的趋势。因而根轨迹法可以解决綫性自动控制系統分析和綜合的一系列問題。

在結束这一节的时候，简单地讲一讲自動控制系统的一些主要品质指标，因在評价自動控制系統的品质，以及在分析和綜合自動控制系統时，都要用到。

由于根轨迹法可以直接判断綫性自动控制系統在过渡过程时的性能，因此，这种方法在評价自動控制系統的品质时所用的主要指标，都是時間指标：即調節時間 t_0 、超調量 ξ 和衰減振蕩角頻率 ω_1 （或者是在时间 t_0 內的振蕩次数 N ），如图 4a 所示。

時間品質指标表明了系統在輸入端加上单位阶跃形式的作用后的調節過程，因此， t_0 、 ξ 和 ω_1 都是对过渡特性 $h(t)$ 的

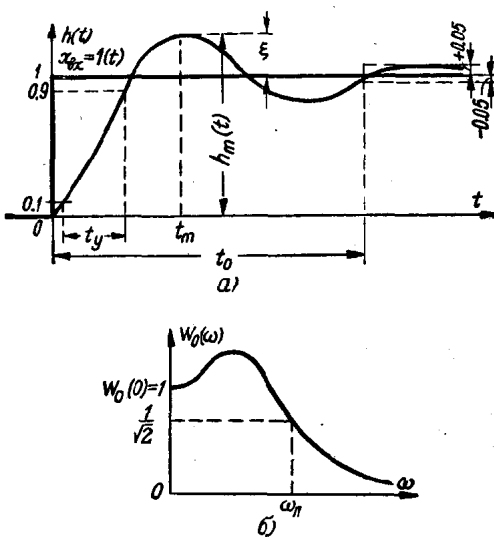


图 4 調節過程的時間品質指标

評價。

因为自动控制系統的主要任务就是要使被調量以一定的准确度保持在給定值附近(譬如,准确度达3~5%),那末,除了上面提到的系統的品質指标外,表征系統靜態調節准确度的指标,即系統的最大穩态偏差,也是一个很重要的指标。

当对过渡特性要求更詳細时,除了上面主要的品質評价以外,有时还加上过渡特性 $h(t)$ 到达第一个最大值的时间 t_m 方面的評价,以及上升时间 t_y 方面的評价; t_y 是指过渡特性 $h(t)$ 从 0.1 增长到 0.9 所需要的时间。

自動控制系统和随动系統的一項很重要的指标就是系統通頻帶 ω_n 的大小。通頻帶按照規定的标准来确定,通常取 $\frac{1}{\sqrt{2}} = 0.707$ (图 46)。因此, ω_n 决定了这样一段頻率區間,在这段頻率范围内,閉环系統幅頻特性的纵坐标值 $W_0(\omega)$,不小于初始值 $W_0(\omega)_{\omega=0} = W_0(0) = 1$ 的 0.707。 ω_n 的數值太小則系統响应“迟鈍”,太大則系統对干扰过于灵敏。

在进行綜合时,不可能保証所有品質指标的數值都是最优的,因此,在选择最后的方案的时候,必須采取某种折衷的办法,以便根据具体的情况,首先滿足那些主要的技术条件。

第 2 章

根 軌 迹 法

3. 零、极点平面

第 2 节中已經讲过，綫性自动控制系统的动态性能完全决定于它的传递函数(参阅图 26 及式(4))

$$W_0(s) = \frac{kW_1(s)}{1+kW_1(s)W_2(s)} \quad (9)$$

系統某一部分以及相應于这一部分的参数，通常都已給定(譬如調節对象、随动系統的动力部分、調節器的执行机构以及其他某些元件)，并且不可能改变。

其他的一些元件，譬如校正元件，它們的结构和参数都要进行选择，以保証系統的品质指标按照規定的技术条件來說是最佳的，或者最低限度也是可行的。同样，系統的总放大系数也可以在一定的范围内变化。

在图 3 所示結構图的例子中，放大系数 k_1 、 k_2 和 k_3 以及时间常数 T_1 和 T_2 可以认为是已給定的参数，其余的参数 α 、 β 、 τ 和 k_0 是要选定的。很明显，改变 k_0 ，总的放大系数 k 也就改变了。

这一章我們將只研究单环系統，并假定系統的结构和它的全部参数都已經知道，只有系統的总放大系数可以在很大